

## ФОРМУВАННЯ НАНОСТРУКТУРИ АМОРФНИХ ПЛІВОК $As_xSe_{100-x}$ І $Ge_xSb_{100-x}$ В УМОВАХ ДИСКРЕТНОГО ТЕРМІЧНОГО НАПИЛЕННЯ

С. О. КОЛІНЬКО, В. П. ІВАНИЦЬКИЙ<sup>1</sup>, В. С. КОВТУНЕНКО, Г. М. ДУБРОВСЬКА

УДК 539.25  
© 2000 р.

Черкаський інженерно-технологічний інститут  
(Будьв. Т. Шевченка, 460, Черкаси 257106).

<sup>1</sup>Ужгородський державний університет  
(Буд. Горького, 46, Ужгород, 89000)

Наведено результати електронно-мікроскопічних досліджень наноструктури аморфних тонких плівок систем  $As - Se$  і  $Ge - Sb$ . Встановлено залежність ступеня мікронеоднорідності конденсатів від їх хімічного складу та технологічних умов напилення. Виявлено залежність наноструктури досліджених плівок від енергії адсорбованих частинок і складу парової фази.

параметри в даному випадку суттєво відрізняються від умов простого термічного випаровування. Упершу чергу це стосується зміни температури парової фази, а також молекулярного складу пари, яка конденсується на підкладці. Зміна зазначених технологічних параметрів дає можливість реалізовувати на підкладці різні структурні стани однієї й тієї ж за хімічним складом речовини.

### Вступ

Практично важлива проблема відтворюваності властивостей аморфних плівок вимагає детального вивчення впливу технологічних умов напилення на структуру конденсатів. Багато робіт присвячено дослідженню залежності структури халькогенідних плівок від умов нанесення [1 — 4]. У цих роботах питання мікроструктури тонких шарів торкаються епізодично, а отримані результати свідчать, що мікроструктура аморфних конденсатів, навіть одного і того ж хімічного складу, може суттєво змінюватися від досліду до досліду. Тому було проведено спеціальний цикл досліджень для з'ясування причин таких розбіжностей в експериментальних даних для систем  $As - Se$  і  $Ge - Sb$  при напиленні методом дискретного термічного випаровування. Аналіз отриманих результатів і є метою даної публікації.

Метод дискретного термічного випаровування [5 — 7] використовується замість простого термічного випаровування у випадку, коли випаровування речовини має інконгруентний характер [8 — 10]. Метод полягає у випаровуванні маленьких частинок речовини, які неперервно і рівномірно подаються на поверхню розжареного випарувача. Якщо одночасно випаровується велика кількість дрібних частинок, кожна з яких перебуває на різній стадії випаровування, то при рівномірному розподілі в часі моментів їх падіння на випарувач забезпечується середній хімічний склад пари, що відповідає складу вихідної речовини. Проте, є сенс у використанні дискретного термічного випаровування також при напиленні елементарних речовин і речовин, що випаровуються конгруентно, оскільки технологічні

### Методика експерименту

Тонкі плівки для електронно-мікроскопічних досліджень отримували на вакуумних постах ВУП-4 і ВУП-5. Як вихідні матеріали використовували прокалибровані за розмірами (200 — 300 мкм) порошок стекол системи  $As - Se$  відповідних складів або суміш порошоків германію і сурми, змішаних необхідних пропорціях, для системи  $Ge - Sb$ . Порошок за допомогою спеціального дозатора, який була оснащена технологічна установка, подавали танталовий випарувач. Температура випарувача  $T_v$  дорівнювала 770 і 870 К при напиленні плівок системи  $As - Se$  і 1470 К — при отриманні плівок системи  $Ge - Sb$ . Температуру випарувача контролювали платино-платинородієвою термопарою. Тиск залишкової атмосфери підковпакового об'єму в процесі напилення підтримували на рівні  $6 \cdot 10^{-3}$  Па. Плівки конденсувалися на поверхню по площині (001) монокристалів  $NaCl$  і  $KCl$ , температура яких дорівнювала кімнатній. Структурні дослідження отриманих зразків проводили на електронних мікроскопах EM-200 і EM-100B з прискорюючою напругою 75 кВ. Для кожного хімічного складу плівок цикл напилення і досліджень повторювали не менше двох разів.

### Експериментальні результати

Наноструктурна неоднорідність досліджених плівок проявляється на електронно-мікроскопічних знімках у відмінностях абсорбційного контрасту ділянок плівок з різною густиною. В основному ділянки з більшою густиною є окремими утворен-

нями округлої форми розмірами 10 — 30 нм, оточені ділянками з меншою густиною у вигляді каналів шириною 5 — 20 нм. При аналізі наноструктури конденсатів як критерій ступеня їх мікронеоднорідності ми використовували контраст  $K$  на мікрознімках між локальними ділянками з максимальною і мінімальною густиною зразків (рис. 1). Контраст розраховували за формулою:

$$K = \frac{D_{\max} - D_{\min}}{D_{\max} + D_{\min}}$$

де  $D_{\max}, D_{\min}$  — показання мікрофотометра для ділянок фотопластинки з різним ступенем по-чорніння. Абсолютна похибка визначення  $K$  не перевищувала  $\Delta K = \pm 0,04$ .

Аморфні плівки  $As_xSe_{100-x}$  з точки зору формування наноструктури можна умовно поділити на дві групи. Конденсати з  $x < 30\%$  (вміст — атомний) мають структуру з низьким ступенем мікронеоднорідності ( $K = 0 \div 0,1$ ) і слабкою залежністю наноструктури від технологічних умов наповнення (рис. 2). Особливо поведуть себе тонкі плівки в області  $x \leq 10\%$ . Для них характерна дуже низька механічна міцність і вони чутливі до дії електронного променя мікроскопа. При опроміненні таких зразків безпосередньо у процесі електронно-мікроскопічних досліджень їх ступінь мікронеоднорідності суттєво збільшується від  $K = 0,05$  до  $K = 0,5$ . При цьому основні зміни відбуваються на протязі перших 3 — 4 хв від початку опромінення.

Шари з  $30 < x < 60\%$  мають структуру з високим ступенем мікронеоднорідності, яка сильно залежить від технологічних умов наповнення (рис. 2). Найвищу ступінь мікронеоднорідності з близьким до одиниці  $K$  мають плівки  $As_{38}Se_{62}$ , отримані при  $T_B = 770$  К (рис. 1, а). Для конденсатів з мішаним складом, близьким до  $x = 50\%$ , характерна чутливість наноструктури до опромінення електронним пучком мікроскопа. Ступінь мікронеоднорідності плівок при цьому зменшується від  $K = 0,6$  до  $K = 0,2$ .

Використовуючи вищезазначені технологічні параметри, ми отримали аморфні конденсати  $Ge_xSb_{100-x}$  в усьому діапазоні хімічних складів ( $0 < x < 100\%$ ). Враховуючи ступінь неоднорідності наноструктури наповнених плівок, їх також можна розділити на дві групи.

Плівки з  $40 \leq x \leq 100\%$  мають практично однорідну структуру з  $K = 0 \div 0,05$ , яка не змінюється в процесі дослідження і старіння. Виняток становлять лише зразки зі складом в околі  $Ge_{60}Sb_{40}$ : наноструктура яких при опроміненні ставала мікронеоднорідною з  $K = 0,3 \div 0,4$  з розмірами неоднорідностей 8 — 10 нм. Для наноструктури тонких

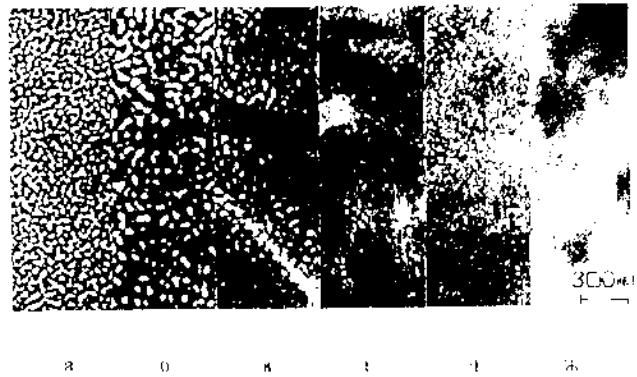


Рис. 1. Ділянки електронно-мікроскопічних знімків аморфних плівок  $As_xSe_{100-x}$  з різним ступенем мікронеоднорідності: а —  $K = 0,8$  ( $As_{38}Se_{62}, T_B = 770$  К), б —  $K = 0,8$  ( $As_{55}Se_{45}, T_B = 870$  К), в —  $K = 0,6$  ( $As_{50}Se_{50}, T_B = 870$  К), г —  $K = 0,4$  ( $As_{42}Se_{58}, T_B = 870$  К), д —  $K = 0,2$  ( $As_{20}Se_{80}, T_B = 870$  К), е —  $K = 0,05$  ( $As_{10}Se_{90}, T_B = 870$  К).

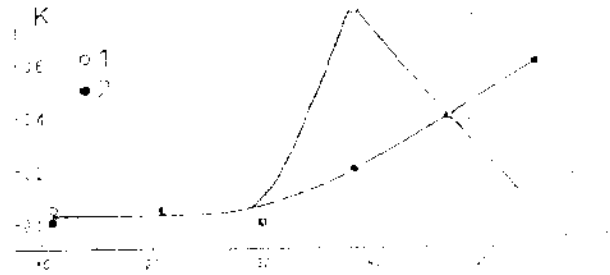


Рис. 2. Залежність ступеня мікронеоднорідності плівок  $As_xSe_{100-x}$  від їх складу: 1 —  $T_B = 770$  К, 2 —  $T_B = 870$  К.

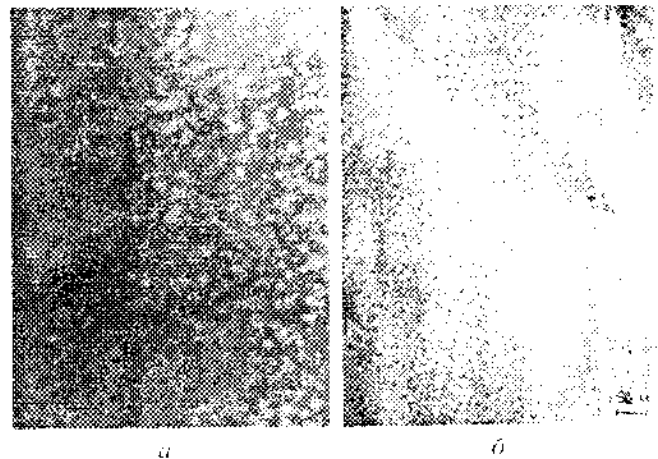


Рис. 3. Електронно-мікроскопічні знімки аморфних плівок: а —  $Ge_xSb_{100-x}$ , б —  $Sb$ .

плівок  $Ge_xSb_{100-x}$  з  $0 \leq x < 40\%$ , характерна сильна мікронеоднорідність з  $K = 0,2 \div 0,3$ . Крім цього, плівки в околі складу  $x = 15\%$  були сильно пошко-

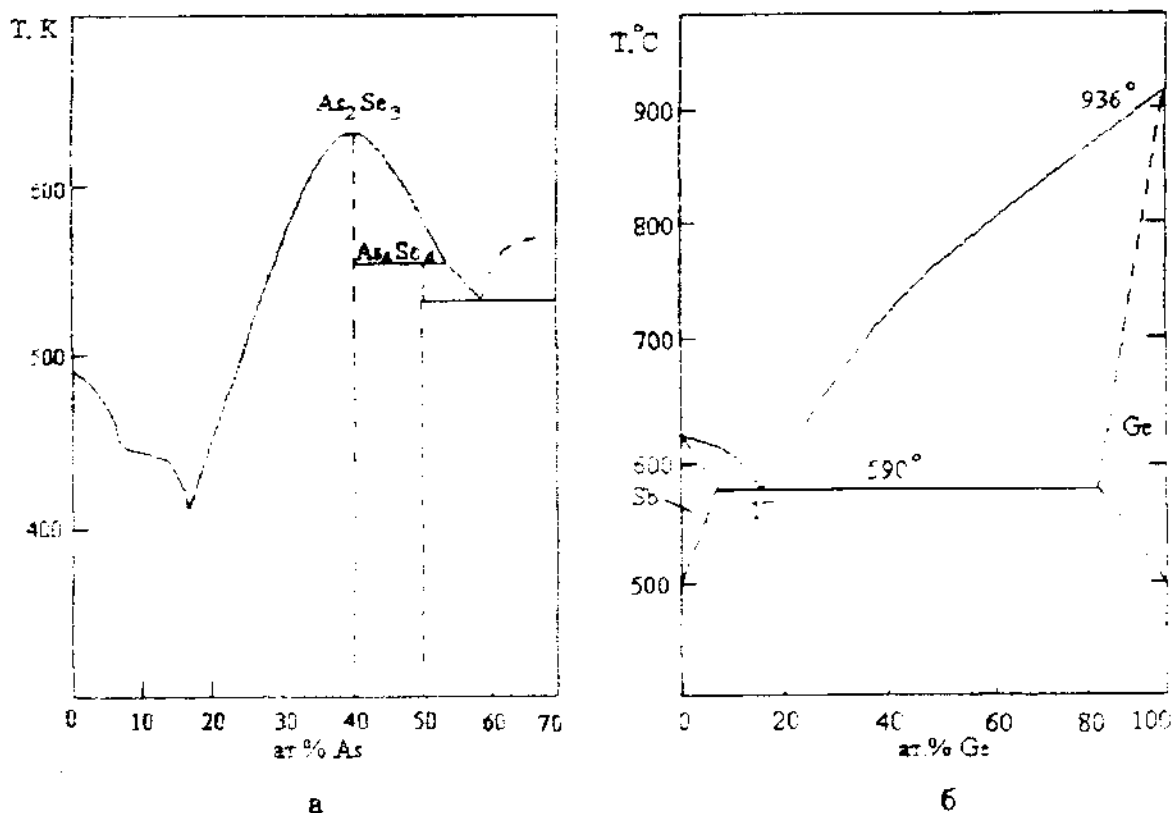


Рис. 4. Діаграми стану систем: а — As — Se [15], б — Ge — Sb [16].

ватими з середнім розміром пор  $15 - 20$  нм (рис. 3,а). Особливістю наноструктури аморфних плівок сурми є наявність великої кількості округлих включень з більш темним контрастом розміром приблизно  $20$  нм і середньою відстанню між ними  $30$  нм (рис. 3,б).

#### Обговорення результатів

Неоднорідність контрасту на електронно-мікроскопічних зображеннях визначається переважним чином різницею товщин різних ділянок плівки. Це зумовлено тим, що знімки отримували в такому режимі роботи електронного мікроскопа, коли формування зображення зумовлено переважно абсорбційним контрастом. Така різниця в контрасті не може бути сформована за рахунок фазового розділення, оскільки атомні амплітуди розсіювання електронів атомами селену і миш'яку майже рівні.

Характер наноструктури аморфних плівок  $As_{40}Se_{60}$ , отриманих при  $T_p = 770$  К (рис. 1,а), на нашу думку, є реалізацією в цих конденсатах так званої сітки пор або стовпчастості [11]. Слід

відзначити, що стовпчаста наноструктура спостерігається в конденсатах різних речовин. Як показали численні експериментальні дослідження, стовпці або зерна мають, як правило, однакові розміри і орієнтацію по всій плівці [12]. На процесі їх утворення суттєво впливають технологічні умови одержання конденсатів, а саме формуванню більш однорідної наноструктури сприяють підвищення температури підкладки [11]; збільшення кінетичної енергії частинок, що конденсуються [13]; зменшення тиску залишкових газів підковакового об'єму [11]. Як загальну закономірність слід відзначити сприяння процесу утворення стовпців тих технологічних факторів, які зменшують рухливість адсорбованих частинок на підкладці і збільшують можливість проникнення домішок залишкових газів у матрицю конденсату. Автори роботи [11] вказують на особливу роль процесів зародкоутворення на початкових етапах конденсації у формуванні неоднорідної наноструктури шарів, коли ріст плівок проходить через стадію росту острівців, а злиття острівців між собою утруднене.

Виходячи з вищесказаного, при аналізі результатів експериментальних досліджень особливу увагу

ми звертали на енергію частинок, які конденсуються. При дискретному термічному напиленні температура випаровувача  $T_v$  суттєво вища, ніж при простому термічному напиленні. Відповідно, більшою є і енергія частинок, які потрапляють на підкладку. Цей фактор зумовлює підвищення рухливості адсорбованих частинок на підкладці і повинен сприяти формуванню більш однорідної наноструктури. Саме такий результат ми отримали при напиленні плівок германію. В той час як при простому термічному випаровуванні на підкладці реалізується стовпчаста наноструктура [14], плівки Ge, отримані методом дискретного термічного випаровування, мікрооднорідні. Важливо, що з ростом температури підкладки  $T_p$  від 293 до 523 К стовпчаста наноструктура також поступово трансформується і стає практично мікрооднорідною [14]. В останньому випадку зростання рухливості осаджених частинок сприяє вищій  $T_p$ . На користь того, що температура парової фази при дискретному термічному випаровуванні вища, свідчить також поява на окремих одержаних нами зразках невеликих делянок з полікристалічною фазою Ge, тоді як при простому термічному випаровуванні кристалічна фаза Ge з'являється лише в інтервалі  $T_p = 533 \div 593$  К [14].

Для плівок системи As — Se як критерій ступеня нагрівання парів використовували різницю між температурою випаровувача і температурою плавлення вихідного матеріалу. Як впливає з діаграми станів системи As — Se [15] (рис. 4,а), при незмінній  $T_v$  ступінь нагрівання парової фази зростає з віддаленням від складу  $As_{40}Se_{60}$  як в бік збільшення вмісту As, так і в бік збільшення вмісту Se. Відповідно зростає і енергія частинок парів, що має сприяти формуванню більш мікрооднорідних плівок по мірі віддалення від складу  $As_{40}Se_{60}$ . Саме така закономірність і спостерігається для аморфних конденсатів As — Se, отриманих при  $T_p = 770$  К (рис. 2).

Підвищення  $T_p$  до 870 К мало б сприяти підвищенню ступеня мікронеоднорідності плівок  $As_xSe_{100-x}$  в усьому діапазоні складів. Експериментально ж така тенденція була підтверджена не для всіх плівок: для  $45 < x \leq 55\%$  спостерігається протилежна тенденція (рис. 2). Схильність до збільшення ступеня мікронеоднорідності при підвищенні рухливості адсорбованих молекул може бути пов'язана з процесами упорядкування наноструктури безпосередньо перед початком кристалізації. Це можливо, коли неоднорідна наноструктура є більш низькоенергетичною, ніж однорідна, але реалізується лише при досить високій рухливості адсорбованих молекул. Явище упорядкування наноструктури спостерігали автори роботи

[14], конденсуючи германій на підкладки при  $T_p = 533 \div 593$  К. Візуально зміни проявлялись у появі неоднорідностей (доменів) розмірами до 20 нм, в той час як плівки Ge, конденсовані при  $T_p = 523$  К, мали однорідну наноструктуру.

Особливістю залежності наноструктури аморфних плівок  $Ge_xSb_{100-x}$  від їх хімічного складу є певна кореляція цієї залежності з діаграмою станів системи Ge — Sb [16]. Так, евтектика на діаграмі має місце при вмісті Ge 17% (рис. 4,б). Тому неоднорідність мікроструктури плівок з  $0 \leq x \leq 20\%$  можна пов'язати з домінуванням особливостей структуроутворення, характерних в даних технологічних умовах для аморфної сурми. В той же час отримані нами плівки германію мікрооднорідні, що, напевно, і зумовлює реалізацію практично однорідної наноструктури при  $x > 20\%$ .

1. Іваницький В.П., Лукаш О.В., Фіриак Ю.Ю., Фелікс П.А. // Физ. электроника. — 1981. — Вып. 23. — С. 102 — 114.
2. Світлицей В.П., Довганей Н.И., Мучаго И.И., Иваницкий В.П. // Изв. АН СССР. Неорг. материалы. — 1985. — 2. — С. 341 — 342.
3. Laksha O., Ivanitsky V., Kaliniko S. // J. Non-Cryst. Sol. — 1991. — 136 — P. 43.
4. Колінько С.А. Структурная модификация аморфных пленок системы As — Se при напиленнии методами вакуумного термического испарения. Автореф. дис. ... канд. физ.-мат. наук. — Ужгород, 1990.
5. *Технология тонких пленок*: Справ. в 2 т. / Под ред. Л. Майершана. Р. Гленд. — М.: Сов. радио, 1977. — Т. 1.
6. Палатник Т.С., Саражин В.К. Основы пленочной технологии проводящего материаловедения. — М.: Энергоатомиздат, 1973.
7. А. с. №1649841 СССР. Устройство для дискретного осаждения материалов в вакууме / И.В. Баран, В.В. Воробейкин, С.А. Колінько, Ю.Л. Фіриак. — Пат. № 1649841 Б.И. 19.06.1989.
8. Новоселова А.В. Плавление параплетных металлов. — М.: Наука, 1978.
9. Поповий И.И., Колінько С.А., Лукаш О.В., Іваницький В.П. Тр. II совещания-семинара "Применение халькогенидов с разнообразными подупроводников в оптоэлектронике". — Киев, 1989. — С. 24 — 25.
10. Колінько С.А., Іваницький В.П., Кошунченко В.С., Діброва Г.Н. // Тр. XI Рос. симпозиума по растрової електронній мікроскопії і аналітичеським методам дослідження твердих тел. — Черноголовка, Россия, 1999. — С. 64.
11. Находкин Н.Г., Новосельская А.И., Бардамас А.Ф. // ФЭТ — 1985. — 9. вып. 11. — С. 1918 — 1928.
12. Лима Э., Галмер П., Диркс А. Актуальные проблемы материаловедения. — М.: Мир, 1983.
13. Скаков Ю.А., Алейников В.С., Бондарчук (В) Ф. // Физ. электроника СССР — 1984. — 278, № 5. — С. 1120 — 1122.
14. Находкин Н.Г., Бардамас А.Ф., Новосельская А.И., Якубович К.И. // ФЭТ — 1987. — 29, вып. 3. — С. 712 — 720.
15. Фелікс А. Аморфные и стеклообразные неорганические твердые тела. — М.: Мир, 1986.
16. Хансен М., Андерко К. Структура двойных сплавов. — М.: Металлургиядат, 1962.

Одержано 24.11.2000

**ФОРМИРОВАНИЕ НАНОСТРУКТУРЫ АМОРФНЫХ ПЛЕНОК  $As_xSe_{100-x}$  И  $Ge_xSb_{100-x}$  В УСЛОВИЯХ ДИСКРЕТНОГО ТЕРМИЧЕСКОГО НАПЫЛЕНИЯ**

*С. А. Колінко, В. П. Іваніцький, В. С. Ковтуненко,  
Г. Н. Дубровська*

**Резюме**

Приведены результаты электронно-микроскопических исследований наноструктуры аморфных тонких пленок систем  $As - Se$  и  $Ge - Sb$ . Установлена зависимость степени микрогетерогенности конденсатов от их химического состава и технологических условий напыления. Отмечается зависимость наноструктуры исследованных пленок от энергии адсорбированных частиц и состава паровой фазы.

**NANOSTRUCTURE FORMATION OF  $As_xSe_{100-x}$  AND  $Ge_xSb_{100-x}$  AMORPHOUS FILMS UNDER CONDITIONS OF DISCRETE THERMAL EVAPORATION**

*S. A. Kolinko, V. P. Ivanitsky<sup>1</sup>, V. S. Kovtunenکو, G. N. Dubrovskaya*

*Cherkassy Engineering Technological Institute  
(460, Shevchenko Str., Cherkassy 257006 Ukraine),*

*<sup>1</sup>Uzhgorod State University  
(46, Piagorna Str., Uzhgorod 88000, Ukraine)*

**Summary**

We present the results of investigations by electron microscope of a nanostructure of amorphous thin films of the  $As - Se$  and  $Ge - Sb$  systems. The dependence of a level microinhomogeneity of samples on its chemical structure and technological conditions of evaporation is found. The dependence of a nanostructure of films on the energy of adsorbed particles and composition of the vapor phase is revealed.